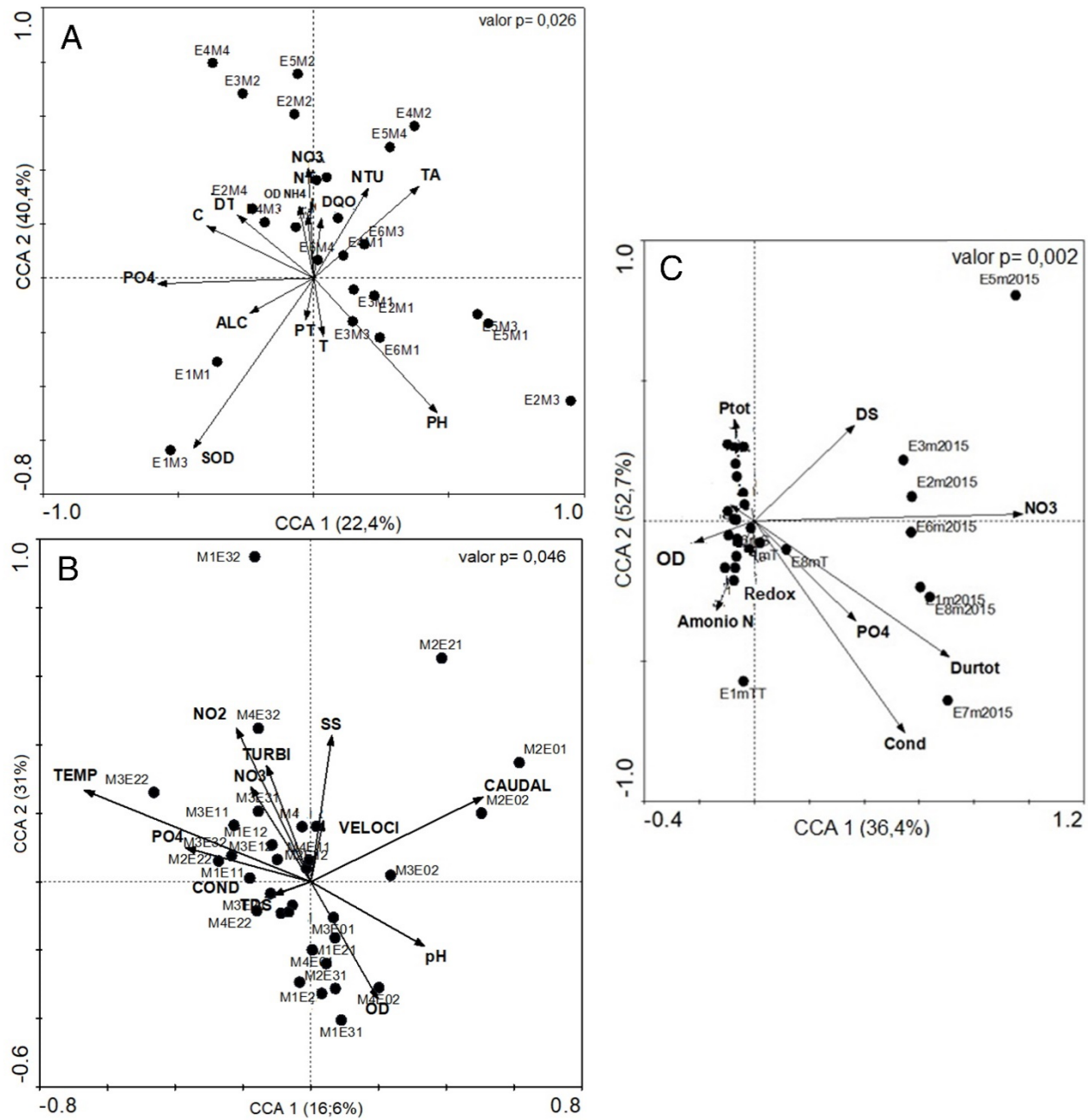


Apéndice digital 1

Biplot del ACC entre algas perifíticas, algas fitoplanctónicas, sitios de muestreo y variables físicas y químicas. **A.** Río San Juan (Antioquia), **B.** Quebradas Jigualito (Chocó) y **C.** Ciénaga de Ayapel (Córdoba)

Digital appendix 1

CCA biplot among periphytic algae, phytoplankton algae, sampling sites and physical and chemical variables. **A.** Río San Juan (Antioquia), **B.** Quebradas Jigualito (Chocó) and **C.** Ciénaga de Ayapel (Córdoba)



Apéndice Digital 2

Valores óptimos y de tolerancia de los morfotipos de algas perifíticas y fitoplanctónicas en función del factor ambiental del ACC. **A.** Río San Juan (Antioquia), **B.** Quebradas Jigualito (Chocó) y **C.** Ciénaga de Ayapel (Córdoba)

Digital appendix 2

Optimal and tolerance values of the morphotypes of periphytic and phytoplanktonic algae as a function of the CCA environmental factor. **A.** Río San Juan (Antioquia), **B.** Quebradas Jigualito (Chocó) and **C.** Ciénaga de Ayapel (Córdoba)

